

The application of quantitative SDS-PAGE method for measurement of extracellular recombinant scFv anti-p17 in crude protein

Kannaporn Intachai¹, Chanyanuch Putim¹, Watchara Kasinrer^{2,3},
Chatchai Tayapiwatana^{2,3}, Bordin Butr-Indr^{1*}

¹Division of Clinical Microbiology, Department of Medical Technology, Faculty of Associated Medical Science, Chiang Mai University

²Division of Clinical Immunology, Department of Medical Technology, Faculty of Associated Medical Science, Chiang Mai University

³Medical Biotechnology Unit, National Center for Genetic Engineering and Biotechnology, National Science and Technology Development Agency at the Faculty of Associated Medical Sciences, Chiang Mai University

*Corresponding author

Abstract

The quantitative determination of recombinant protein in crude protein is not commonly used because the protein is not in purified form. The Sodium dodecyl sulfate polyacrylamide gel electrophoresis (SDS-PAGE) was developed for quantitative determination of protein. This method has been use for protein quantitative determinations in many propose such as Tamm-Horsfall glycoprotein determination in kidney stone disease patient and determination of titin and nebulin in chicken meat product for meat industries. In this study, the method of quantitative determination of extracellular recombinant single-chain variable fragment anti-HIV-1 p17 proteins (scFv anti-p17) from *Escherichia coli* stain HB2151 by sodium dodecyl sulfate polyacrylamide gel electrophoresis (SDS-PAGE) was developed by the application of bovine serum albumin as external and internal standard. The range of detection was 1.875 - 0.234 µg. These results presented variation coefficient less than 35%. The method applied to quantitative determination of scFv anti-p17 in 19 of crude protein samples. The quantitative protein concentration results related to the enzyme-linked immunosorbent assay (ELISA) and western immunoblotting method. The quantitative SDS-PAGE method is capable for quantitative determination of known protein from crude protein extraction. This method decreased the purification step, time consuming and protein yield loss. This application is capable to apply with the other pathogenic protein markers in the future clinical applications. *Bull Chiang Mai Assoc Med Sci 2013; 46(2): 107-121*

Keywords: SDS-PAGE, scFv anti-p17, HIV-1

การประยุกต์ใช้เทคนิค SDS-PAGE เพื่อตรวจหาปริมาณโปรตีน Extracellular Recombinant Single-chain Variable Fragment Anti-HIV-1 p17 จากโปรตีนรวม

กรรณภรณ์ อินทชัย¹, ชัญญานุช ภูทิม¹ วัชระ กลินธุกษ์^{2,3}
ชัชชัย ตะยาภักดิ์^{2,3} บดินทร์ บุตรอินทร์*

¹แขนงวิชาจุลชีววิทยาคลินิก ภาควิชาเทคนิคการแพทย์ คณะเทคนิคการแพทย์ มหาวิทยาลัยเชียงใหม่

²แขนงวิชาภูมิคุ้มกันวิทยาคลินิก ภาควิชาเทคนิคการแพทย์ คณะเทคนิคการแพทย์ มหาวิทยาลัยเชียงใหม่

³ศูนย์วิจัยเทคโนโลยีชีวการแพทย์ คณะเทคนิคการแพทย์ มหาวิทยาลัยเชียงใหม่

* ผู้รับผิดชอบบทความ

บทคัดย่อ

การวิเคราะห์ปริมาณโปรตีนลูกผสมที่จำเพาะจากโปรตีนรวมทำได้ยาก เนื่องจากโปรตีนที่ต้องการยังไม่ผ่านการทำให้บริสุทธิ์ ปัจจุบันการพัฒนาเทคนิคการหาปริมาณโปรตีนลูกผสมที่จำเพาะจากโปรตีนรวมโดยตรงด้วยวิธี quantitative sodium dodecyl sulfate polyacrylamide gel electrophoresis (SDS-PAGE) นำมาใช้ในการวิเคราะห์ปริมาณโปรตีนหลายชนิด เช่น การหาโปรตีน Tamm-Horsfall glycoprotein เพื่อตรวจคัดกรองผู้ป่วยโรคนี้ในไต และการตรวจหาปริมาณโปรตีน titin และ nebulin ในเนื้อไก่ ในการศึกษาครั้งนี้ผู้วิจัยได้พัฒนาการหาปริมาณโปรตีน single chain variable fragment anti-HIV-1 p17 (scFv anti-p17) ที่ผลิตออกนอกเซลล์จากเชื้อ *Escherichia coli* สายพันธุ์ HB2151 โดยใช้โปรตีน bovine serum albumin (BSA) เป็นตัวควบคุมภายนอก และตัวควบคุมภายใน จากการศึกษาพบว่า การสร้างกราฟมาตรฐานโปรตีน BSA จากพื้นที่ใต้กราฟที่วิเคราะห์จากความเข้มของแถบโปรตีน BSA ในเจลด้วยโปรแกรม ImageQuant TL programe ได้ค่าความเข้มชั้นของ BSA ที่ใช้เป็นตัวควบคุมภายนอก และตัวควบคุมภายในอยู่ในช่วงค่าความเข้มชั้น 0.234 -1.875 ไมโครกรัม มีค่าสัมประสิทธิ์ความแปรปรวน (%CV) ได้น้อยกว่า 35% เมื่อใช้การทดสอบการหาปริมาณ scFv anti-p17 ในตัวอย่างโปรตีนจำนวน 19 ตัวอย่าง ให้ผลของปริมาณโปรตีนที่สัมพันธ์กับผลการทดสอบด้วยวิธี enzyme-linked immuno sorbent assay (ELISA) และ western immunoblotting การหาปริมาณโปรตีนจำเพาะจากโปรตีนรวมด้วยวิธี SDS-PAGE ทำให้ทราบปริมาณโปรตีนโดยไม่ต้องผ่านขั้นตอนการทำบริสุทธิ์โปรตีน ช่วยลดระยะเวลาและการสูญเสียโปรตีน สามารถนำไปประยุกต์ใช้กับการหาปริมาณโปรตีนบ่งชี้ที่สำคัญทางการแพทย์ได้ในอนาคต *วารสารเทคนิคการแพทย์เชียงใหม่ 2556; 46(2): 107-121*

คำรหัส: : โซเดียมโดเดซิลซัลเฟต พอลิอะคริลไมด์เจล อิเล็กโตรโฟรีซิส ซิงเกิลเชน แวริเอเบิล แฟรกเมนต์ เมทริกซ์ โปรตีนพี-17 เอชไอวี-1

บทนำ

เทคโนโลยีการผลิตโปรตีนลูกผสม (recombinant protein) เพื่อใช้ในการวินิจฉัย การรักษาโรค และงานวิจัย เช่น การผลิตโปรตีนอินซูลินเพื่อช่วยรักษาผู้ป่วยเบาหวาน¹ การผลิตโปรตีน single chain variable fragment (scFv) ที่มีความสามารถในการจับอย่างจำเพาะกับแอนติเจนได้หลากหลาย

ชนิด เพื่อใช้ในการรักษาการตรวจวินิจฉัยมะเร็งชนิดต่าง ๆ เช่น มะเร็งเม็ดเลือดขาว มะเร็งต่อมน้ำเหลือง และมะเร็งลำไส้ เป็นต้น² จากประโยชน์ดังกล่าวการผลิต scFv เพื่อใช้ในทางการแพทย์มีความสำคัญเป็นอย่างมาก การทดสอบประสิทธิภาพการผลิตโปรตีนลูกผสมมีหลายขั้นตอน การหา

ปริมาณโปรตีนเป็นขั้นตอนหนึ่งที่ต้องแสดงถึงผลผลิตโปรตีนที่ได้ มีปริมาณมากเพียงพอต่อการใช้งานหรือไม่ วิธีการหาปริมาณโปรตีนโดยทั่วไปคือ วิธี Kjeldahl วิธี Biuret วิธี Lowry-Folin และวิธี Bradford การหาปริมาณโปรตีนด้วยวิธีข้างต้น นิยมใช้คำนวณหาปริมาณโปรตีนในรูปแบบการหาโปรตีนรวมจึงไม่สามารถหาปริมาณโปรตีนที่จำเพาะจากโปรตีนที่ไม่ผ่านขั้นตอนการทำบริสุทธิ์ได้

เทคนิค quantitative sodium dodecyl sulphate polyacrylamide gel electrophoresis (quantitative SDS-PAGE) เป็นเทคนิคที่นำมาใช้ในงานวิเคราะห์โปรตีนชนิดใดชนิดหนึ่งจากโปรตีนรวม โดยแยกโปรตีนภายใต้สนามไฟฟ้าอาศัยความแตกต่างของน้ำหนักโมเลกุลของโปรตีนที่มีโครงสร้างปฐมภูมิต่างกัน และหาปริมาณโปรตีนจากความเข้มของแถบโปรตีนที่จำเพาะเมื่อเทียบกับโปรตีนมาตรฐาน การวิเคราะห์โปรตีนด้วยเทคนิค quantitative SDS-PAGE เป็นเทคนิคที่ง่าย และน่าเชื่อถือ จากการศึกษที่ผ่านมา เทคนิค quantitative SDS-PAGE ถูกนำมาใช้ในอุตสาหกรรมอาหาร และทางการแพทย์ Tomaszewska-Gras และคณะได้ศึกษาหาปริมาณโปรตีน titin และ nebulin ในเนื้อไก่ด้วยเทคนิค SDS-PAGE โดยใช้ β -galactosidase เป็นตัวควบคุมภายใน พบว่าปริมาณโปรตีนที่คำนวณได้มีค่าสัมประสิทธิ์สหสัมพันธ์คิดเป็น 0.91-0.99³ การศึกษาของ Hofman และคณะตรวจหาปริมาณคอลลาเจนที่มีความเข้มข้นต่ำ ในการผลิตเบียร์ด้วยเทคนิค semi-quantitative SDS-PAGE โดยสามารถตรวจหาคอลลาเจนที่มีความเข้มข้นตั้งแต่ 0.03 ppm การศึกษาของ Wai-hoe และคณะหาปริมาณ Tamm-Horsfall glycoprotein (THP) ด้วยวิธี SDS-PAGE โดยใช้โปรตีน THP มาตรฐาน เป็นตัวควบคุมภายนอกเพื่อใช้ในการคัดกรองผู้ป่วยโรคนี้ในไตจากการศึกษาให้ค่าความสามารถในการให้ผลซ้ำ (Reproducibility) และค่าความสามารถในการวัดซ้ำ (Repeatability) เท่ากับ 4.8 % CV และ 2.6 % CV ตามลำดับ พบว่าสามารถคัดกรองผู้ป่วยออกจากคนปกติได้ โดยมีความไว (sensitivity) และความจำเพาะ (specificity) สูงถึง 92.3% และ 83.3% ตามลำดับ⁴ การศึกษาของ Li และคณะทำการตรวจหาปริมาณโปรตีนในน้ำตาที่เปลี่ยนแปลงในผู้ป่วยโรคตาด้วยวิธี SDS-PAGE densitometry โดยใช้โปรตีน soybean trypsin inhibitor (SBTI) เป็น ตัวควบคุมภายใน พบว่า เทคนิคนี้สามารถใช้ในการวินิจฉัยการเกิดโรคตาได้โดยวิเคราะห์จากปริมาณโปรตีนในน้ำตาที่เปลี่ยนแปลงไป⁵ Ricny และคณะศึกษาการหาปริมาณ myosin heavy chain (MyHC) isoforms ในกล้ามเนื้อด้วยวิธี ELISA เปรียบเทียบกับวิธี SDS-PAGE พบว่าความถูกต้อง และความเร็วของวิธี ELISA ให้ผลใกล้เคียงกับการหา

ปริมาณโปรตีนด้วยวิธี SDS-PAGE⁶

ในการศึกษาค้นคว้าครั้งนี้คณะผู้วิจัยผลิตโปรตีน single-chain variable fragment anti-p17 (scFv anti-p17) ออกสู่นอกเซลล์ จากเชื้อ *Escherichia coli* สายพันธุ์ HB2151 ซึ่ง scFv เป็นโปรตีนลูกผสมที่มีขนาดโมเลกุลขนาดเล็กกว่าแอนติบอดีปกติ (intact antibody) 5-6 เท่าโดยมีขนาดโมเลกุลประมาณ 27-30 กิโลดาลตัน โครงสร้างของ scFv ประกอบด้วย variable light chain และ variable heavy chain โดยต่อกันด้วยสายเปปไทด์สายสั้น ๆ ขนาด 10-25 กรดอะมิโน สามารถจับอย่างจำเพาะกับแอนติเจน และแทรกเข้าสู่เนื้อเยื่อต่างๆ ได้ดีเมื่อนำไปใช้ประโยชน์ในการรักษาโรคในผู้ป่วย scFv มีโอกาสกระตุ้นให้ผู้ป่วยสร้างแอนติบอดีของผู้ป่วยต่อ scFv ได้น้อยกว่าเมื่อเทียบกับการใช้โมโนโคลนอลแอนติบอดีในการรักษา จากความสำคัญของ scFv ดังกล่าวมาข้างต้น นักวิทยาศาสตร์จึงศึกษาคุณสมบัติและการใช้งาน scFv มากขึ้น จากการศึกษาค้นคว้าของ Lim และคณะทำการผลิต และทำบริสุทธิ์ scFv ต่อ exotoxin ของเชื้อ *Burkholderia pseudomallei* จาก *E. coli* สายพันธุ์ HB2151 พบว่าโปรตีนที่ผลิตได้มีขนาดโมเลกุลประมาณ 27.5 กิโลดาลตัน และสามารถนำไปใช้ในการทดลองอื่นต่อไปได้⁷ Tragoolpua และคณะได้ศึกษาการแสดงออกของ scFv-M6-1B9 intrabody ที่มีความจำเพาะกับ CD147 พบว่าสามารถลดการแสดงออกของ CD147 บนผิวเซลล์ 239A⁹ และการศึกษาของ Mukhtar และคณะเกี่ยวกับการแสดงออกของ single chain intracellular antibodies ที่มีความจำเพาะกับ nucleoprotein ของเชื้อไวรัส influenza ชนิด A พบว่าสามารถยับยั้งการเพิ่มจำนวนของเชื้อไวรัส influenza ชนิด A ได้¹⁰ Gal-Tanamy และคณะสร้าง intrabodies ต่อเอนไซม์ NS3 protease เพื่อยับยั้งการทำงานของเอนไซม์ NS3 protease ของเชื้อไวรัสตับอักเสบบีชนิดซี พบว่าสามารถลดการเพิ่มจำนวนของไวรัสตับอักเสบบีชนิดซี¹¹ จากการศึกษามาก่อนหน้านี้แสดงให้เห็นการใช้ประโยชน์ scFv ในรูปแบบต่างๆ แต่การผลิต scFv เพื่อใช้ประโยชน์ยังมีปัญหาในการหาปริมาณของ scFv ที่ผลิตได้ การผลิต scFv โดยแบคทีเรียมีขั้นตอนการทำบริสุทธิ์โปรตีนหลายขั้นตอนทำให้โปรตีนที่ได้สูญเสียไปในขั้นตอนการทำบริสุทธิ์ และการติดตามโปรตีนเป้าหมายทำได้ยาก ดังนั้นการศึกษาค้นคว้าครั้งนี้ได้พัฒนาเทคนิค quantitative SDS-PAGE เพื่อใช้ในการหาปริมาณโปรตีน scFv anti-p17 ที่ผลิตโดยเชื้อ *E. coli* สายพันธุ์ HB2151 หลังออกนอกเซลล์โดยตรงจากโปรตีนรวม เพื่อลดขั้นตอนการทำบริสุทธิ์โปรตีน ตรวจติดตามปริมาณโปรตีนในแต่ละขั้นตอนของการทำบริสุทธิ์ และสามารถประยุกต์ใช้กับการผลิตโปรตีนลูกผสมชนิดต่างๆ จากเชื้อจุลินทรีย์ชนิดอื่นได้ในอนาคต

วิธีการศึกษา

1. การเตรียมโปรตีน scFv anti-p17

เลี้ยงเชื้อ *E. coli* สายพันธุ์ HB2151 ที่มีพลาสมิด pComb3x-scFv17-His-HA ในอาหารเลี้ยงเชื้อ terrific broth (1.2% tryptone, 2.4% yeast extract, 72 mM K_2HPO_4 , 17 mM KH_2PO_4 , pH 7.0, 1% glucose, 0.4% glycerol และ 100 µg/ml ampicillin) กระตุ้นให้เชื้อสร้างโปรตีน scFv anti-p17 ด้วย Isopropyl β-D-1-thiogalactopyranoside (IPTG) ความเข้มข้น 58 ไมโครโมลาร์ ที่อุณหภูมิ 25 องศาเซลเซียส เขย่า 200 รอบต่อนาที เป็นเวลา 16 ชั่วโมง ตกตะกอนโปรตีนจากอาหารเลี้ยงเชื้อด้วยแอมโมเนียมซัลเฟตความเข้มข้น 70% ปั่นแยกโปรตีนที่ตกตะกอนด้วยเครื่องเหวี่ยงสารตกตะกอนที่ความเร็วรอบ 6000 g นำโปรตีนผ่านการตกตะกอนไปผ่านกระบวนการไดอะไลซิส (dialysis) เป็นเวลา 12 ชั่วโมง

ที่อุณหภูมิ 4 องศาเซลเซียส จากนั้นนำไปตีปั่นไปหาปริมาณด้วยวิธี SDS-PAGE ต่อไป

2. การแยกโปรตีนด้วยวิธี SDS-PAGE

นำโปรตีนรวมผสมกับ sample buffer (0.3125 M Tris HCl, 10% SDS, 50% glycerol, 0.05% bromphenol blue, 25% 2-Mercaptoethanol) ในอัตราส่วน 5:1 นำไปต้มที่ 100 องศาเซลเซียส เป็นเวลา 5 นาที แยกโปรตีน scFv anti-p17 ด้วย 12.5% polyacrylamide gel โดยใช้ความต่างศักย์ 150 โวลต์ เวลา 2 ชั่วโมง นำเจลย้อมด้วยสี coomassie blue R-250 การย้อมสีเจล มีขั้นตอนดังแสดงในตารางที่ 1 โดยใช้ยาน้ำและสีย้อมปริมาตร 15 มิลลิลิตร ต่อการย้อม polyacrylamide gel 1 เจล

Table 1 Coomassie Blue staining protocol³

	Time (min)
1. Fixation : 40% v/v ethanol, 10% v/v glacial acetic acid	30
2. Staining : 0.05% w/v Coomassie Blue R-250, 25% v/v ethanol and 8% v/v acetic acid	30
3. Destaining : 25% v/v ethanol and 8% v/v acetic acid	Until clear background
4. Preserving 10% v/v acetic acid and 10% v/v glycerol	15

3. การตรวจหาโปรตีน scFv anti-p17 ด้วยวิธี western immunoblotting

เพื่อยืนยันตำแหน่งจำเพาะของโปรตีน scFv anti-p17 โดยแยกโปรตีนด้วยวิธี SDS-PAGE จากนั้นย้ายโปรตีนจากเจลสู่แผ่นเมมเบรน polyvinylidene difluoride (PVDF) ด้วยเครื่อง electroblot ใช้กระแสไฟฟ้า 54 มิลลิแอมแปร์ เวลา 110 นาที จากนั้นเติม 5% skim milk/phosphate buffer saline (PBS, pH 7.2) บนเมมเบรน PVDF บ่มไว้ที่อุณหภูมิ 4 องศาเซลเซียส เป็นเวลา 18 ชั่วโมง เติม mouse anti-HA mAbs (Sigma, USA) อัตราส่วน 1:3000 ลงไปบนแผ่นเมมเบรน บ่มที่ 25 องศาเซลเซียส เป็นเวลา 1 ชั่วโมง ล้างแผ่นเมมเบรนด้วย 0.05% v/v Tween20/ PBS (pH 7.2) 3 ครั้ง เติม HRP conjugated goat anti-mouse immunoglobulin antibodies (KPL, USA) อัตราส่วน 1:3000 บ่มที่ 25 องศาเซลเซียส electroblot เป็นเวลา 1 ชั่วโมง ล้างแผ่นเมมเบรนด้วย 0.05% v/v Tween20/PBS (pH 7.2) สามครั้ง และล้างด้วย PBS (pH 7.2) 1 ครั้ง เติม chemiluminescent substrates (Pierce, USA) ลงบนแผ่นเมมเบรน และประกบฟิล์มในท้องมืดทิ้งไว้ 30 นาที

4. การตรวจสอบโปรตีน scFv anti-p17 ด้วยวิธี direct ELISA

เพื่อทดสอบความสามารถในการจับกับแอนติเจนของโปรตีน scFv anti-p17 และยืนยันว่ามีโปรตีน scFv anti-p17 อยู่ในโปรตีนรวม โดยเคลือบแอนติเจนเปปไทด์ p17 ที่จำเพาะต่อ scFv anti-p17 ในไมโครเพลททิ้งไว้ที่อุณหภูมิ 4 องศาเซลเซียส ซ้ำคืน ล้างเพลทด้วย 0.05% Tween20/TBS 3 ครั้ง เติม 2% BSA /TBS หลุมละ 200 ไมโครลิตร ทิ้งไว้ที่อุณหภูมิห้อง 1 ชั่วโมง จากนั้นล้างเพลทด้วย 0.05% Tween20/TBS 3 ครั้ง เจือจางโปรตีน scFv anti-p17 ที่ผลิตได้ให้มีความเข้มข้นโปรตีนรวม 200 ไมโครกรัมต่อมิลลิลิตร และเติมลงไปในหลุม ปริมาตร 50 ไมโครลิตร สำหรับหลุมควบคุมชนิดผลบวก (positive control) เติม scFv anti-p17 ที่เคยทำการทดสอบแล้วได้ผลบวกลงในหลุม ปริมาตร 50 ไมโครลิตร หลุมควบคุมชนิดผลลบ (negative control) เติม scFv-M61B9 ลงในหลุม ปริมาตร 50 ไมโครลิตร ทิ้งไว้ 1 ชั่วโมง จากนั้นล้างออก ด้วย 0.05% Tween20/TBS 3 ครั้ง เติม HRP conjugated monoclonal anti-HA (1:1000) หลุมละ 50 ไมโครลิตร ทิ้งไว้ 1 ชั่วโมงล้างออก ด้วย 0.05% Tween20/

TBS 3 ครั้ง เติม TMB microwell substrate หลุมละ 50 ไมโครลิตร ปิดฝาครอบไว้ในที่มืดทิ้งนาน 30 นาที หยุดการทำปฏิกิริยาด้วยการเติม 1N HCl หลุมละ 50 ไมโครลิตร นำไปวัดค่าการดูดกลืนแสงที่ความยาวคลื่น 450 นาโนเมตร

5. การหาปริมาณโปรตีนด้วยวิธี Quantitative SDS-PAGE

5.1 การสร้างกราฟมาตรฐาน

วิเคราะห์ความเข้มของแถบโปรตีนบนเจลที่ย้อมด้วยสี coomassie brilliant blue ด้วยเครื่อง Image Scanner III (GE healthcare) โปรแกรม ImageQuant TL programme

5.1.1 การสร้างกราฟมาตรฐาน โดยใช้โปรตีน BSA มาตรฐานเป็นตัวควบคุมภายนอก

แยกโปรตีน BSA มาตรฐานความเข้มข้น 1.875, 0.9375, 0.469, 0.234 และ 0.117 ไมโครกรัม ด้วยวิธี SDS-PAGE และวิเคราะห์พื้นที่ใต้กราฟของ โปรตีน BSA มาตรฐาน สร้างกราฟมาตรฐานจากค่าพื้นที่ใต้กราฟของโปรตีน BSA มาตรฐาน โดยกำหนดให้แกนตั้งแสดงพื้นที่ใต้กราฟ และแกนนอนแสดงความเข้มข้นของโปรตีน BSA มาตรฐาน ในหน่วยไมโครกรัม

คำนวณความเข้มข้นของโปรตีน BSA มาตรฐานจากกราฟ และสร้างกราฟความสัมพันธ์ระหว่างค่าความเข้มข้นของโปรตีน BSA มาตรฐานที่ทราบค่า และความเข้มข้นของโปรตีน BSA มาตรฐานที่คำนวณได้จากกราฟ

5.1.2 การสร้างกราฟมาตรฐาน โดยใช้โปรตีน BSA มาตรฐานเป็นตัวควบคุมภายใน

แยกโปรตีน BSA มาตรฐานความเข้มข้น 1.875, 0.9375, 0.469, 0.234 และ 0.117 ไมโครกรัม ผสมกับโปรตีนรวมความเข้มข้น 20 ไมโครกรัม ด้วยวิธี SDS-PAGE และวิเคราะห์พื้นที่ใต้กราฟของโปรตีน BSA มาตรฐาน สร้างกราฟมาตรฐานจากพื้นที่ใต้กราฟของโปรตีน BSA มาตรฐาน

โดยกำหนดให้แกนตั้งแสดงพื้นที่ใต้กราฟ และแกนนอนแสดงความเข้มข้นของโปรตีน BSA ในหน่วยไมโครกรัม

คำนวณความเข้มข้นของโปรตีน BSA มาตรฐานจากกราฟ และสร้างกราฟความสัมพันธ์ระหว่างค่าความเข้มข้นของโปรตีน BSA มาตรฐานที่โหลดลงในเจล และความเข้มข้นของโปรตีน BSA มาตรฐานที่คำนวณได้จากกราฟ

5.2 การหาปริมาณโปรตีน scFv anti-p17 โดยใช้โปรตีน BSA มาตรฐานเป็นตัวควบคุมภายใน

เตรียมโปรตีน BSA มาตรฐาน ความเข้มข้น 1.875, 0.9375, 0.469, 0.234 และ 0.117 ไมโครกรัม ผสมโปรตีนรวมความเข้มข้น 20 ไมโครกรัม นำไปวิเคราะห์โปรตีนด้วยวิธี SDS-PAGE และ western immunoblotting คำนวณหาความเข้มข้นของ scFv anti-p17 จากค่าพื้นที่ใต้กราฟของความเข้มของแถบโปรตีน scFv anti-p17 จากการประยุกต์สูตรการคำนวณของ Tomaszewska-Gras J. และคณะ³

ผลการทดลอง

1. กราฟมาตรฐานจากโปรตีน BSA มาตรฐาน และกราฟความสัมพันธ์ระหว่างค่าความเข้มข้นของโปรตีน BSA มาตรฐานที่ทราบค่า และความเข้มข้นของโปรตีน BSA มาตรฐานที่คำนวณได้โดยใช้โปรตีน BSA มาตรฐานเป็นตัวควบคุมภายนอก

แยกโปรตีน BSA มาตรฐานความเข้มข้น 1.875, 0.9375, 0.469, 0.234 และ 0.117 ไมโครกรัม ด้วยวิธี SDS-PAGE พบแถบโปรตีนของโปรตีน BSA มาตรฐานเป็นแถบเดี่ยว น้ำหนักโมเลกุลประมาณ 65 กิโลดาลตัน เมื่อเทียบกับ molecular weight marker ความเข้มของแถบโปรตีนลดลงตามลำดับ ดังแสดงในรูปที่ 1 เมื่อวิเคราะห์ความเข้มของแถบโปรตีนในเจลด้วยโปรแกรม ImageQuant TL programme ซึ่งแสดงผลเป็นค่าพื้นที่ใต้กราฟ พบว่า ค่าพื้นที่

$$X = \frac{P_{\text{protein peak}}}{P_{\text{int. standard}}} \times \frac{S_{\text{int. standard}}}{S_{\text{total protein}}} \times 100 [\%]$$

สมการคำนวณปริมาณโปรตีนที่ประยุกต์จากการศึกษาของ Tomaszewska-Gras J. และ คณะ³

โดย	X	แทน	ความเข้มข้นของโปรตีนที่คำนวณได้ในหน่วยเปอร์เซ็นต์
	P _(protein peak)	แทน	ค่าพื้นที่ใต้กราฟของโปรตีนที่ต้องการทราบความเข้มข้น
	P _(int. standard)	แทน	ค่าพื้นที่ใต้กราฟของตัวควบคุมภายใน
	S _(int. standard)	แทน	ความเข้มข้นของตัวควบคุมภายใน
	S _(total protein)	แทน	ความเข้มข้นของโปรตีนรวม

ได้กราฟ ลดลงตามความเข้มข้นของโปรตีน BSA มาตรฐานที่ ลดลงตามลำดับ ดังแสดงในรูปที่ 2 และตารางที่ 2 ตามลำดับ เมื่อนำค่าพื้นที่ที่ได้กราฟ จากตารางที่ 2 มาสร้างกราฟ

มาตรฐาน ได้กราฟเส้นตรงมีค่าสัมประสิทธิ์สหสัมพันธ์ $R \geq 0.98$ ดังแสดงในรูปที่ 3 ผลการคำนวณค่าความเข้มข้น ของโปรตีน BSA มาตรฐานจากกราฟ และค่าสัมประสิทธิ์

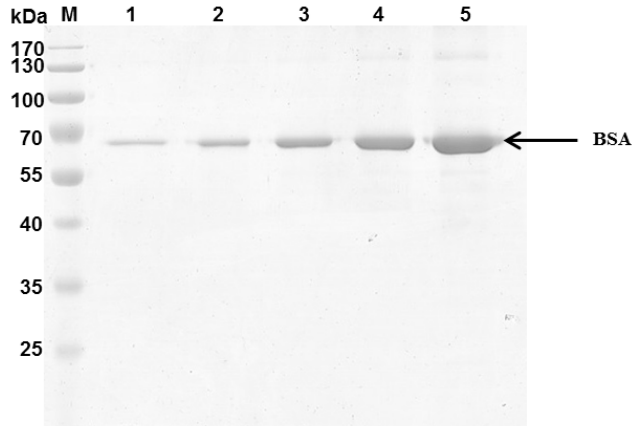


Figure 1 SDS-PAGE analysis of various concentrations of standard BSA; Lane 1-5: 1.875, 0.9375, 0.469, 0.234, 0.117 μg , respectively, Lane M: Prestained protein ladder

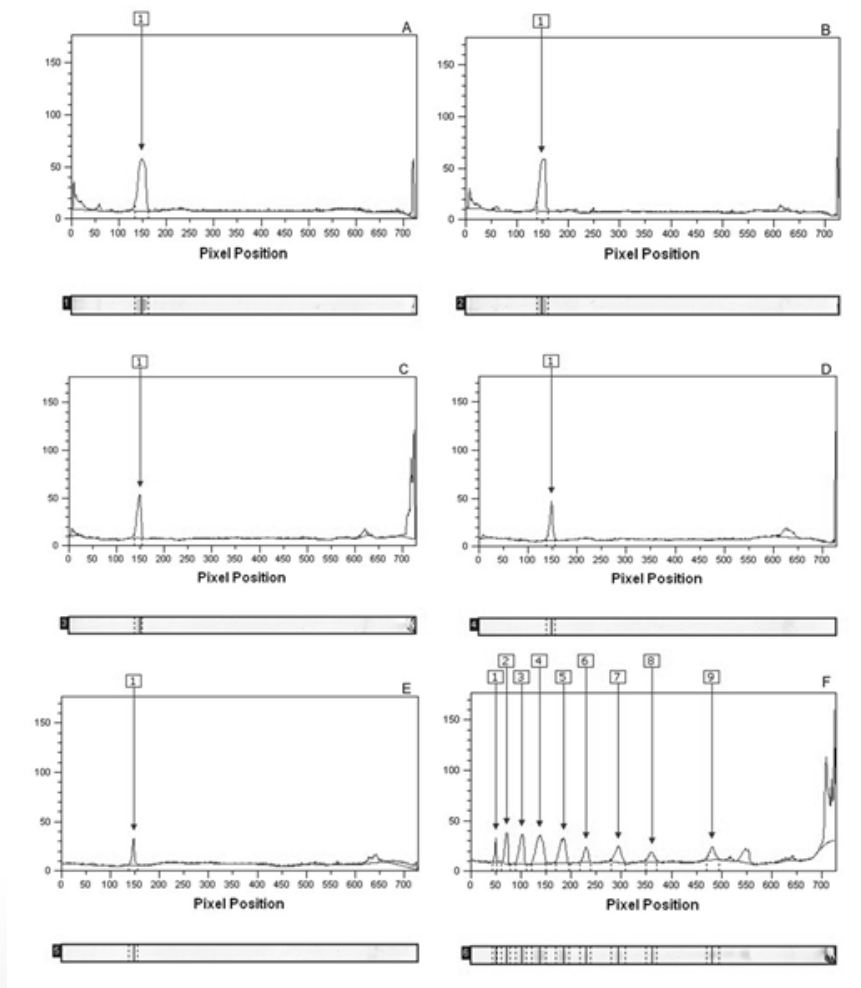


Figure 2 Peak areas of various concentrations of standard BSA intensity; (A-E) Peak areas of 1.875, 0.9375, 0.469, 0.234, 0.117 μg , respectively. (F) Peak area of molecular weight marker intensity

Table 2 Peak areas of standard BSA concentration analyzed by ImageQuant TL program

Table 2 Peak areas of standard BSA concentration analyzed by ImageQuant TL program

Std BSA conc. (µg)	Peak area analysis by ImageQuant TL programme										\bar{X}	SD
	1	2	3	4	5	6	7	8	9	10		
1.875	135710	165217	205062	186223	251404	238601	218191	277552	95638	62626	183622	69215
0.937	74883	91852	106547	83902	135592	137518	132459	148659	49457	35880	99674	39101
0.469	37394	52361	63236	40238	75752	74469	59038	82627	28661	18450	53222	21577
0.234	19682	27582	33601	24974	43867	34551	37171	45206	15717	10723	29307	11628
0.117	6640	11359	14418	12325	22248	21947	21376	23315	8407	5526	14756	6943

ความแปรปรวน (%CV) จากความเข้มข้นของโปรตีน BSA มาตรฐานที่คำนวณได้จากกราฟต่อความเข้มข้นของโปรตีน BSA มาตรฐานที่ทราบค่า คือ 1.862, 0.952, 0.495, 0.245, และ 0.099 ไมโครกรัม ตามลำดับ ค่าความคลาดเคลื่อนสัมประสิทธิ์ความแปรปรวนได้ 2.11, 8.58, 10.83, 10.72 และ 39.35 ตามลำดับ ดังแสดงในตารางที่ 3 โดยค่าความเข้มข้นที่คำนวณได้จะยอมรับที่ค่าสัมประสิทธิ์ความแปรปรวนน้อยกว่า 35% จากการทดลองพบว่าที่ความเข้มข้นของโปรตีน BSA มาตรฐาน เท่ากับ 0.099 ไมโครกรัม มีค่าสัมประสิทธิ์ความแปรปรวนมากกว่า 35% ที่ความเข้มข้นดังกล่าวจึงไม่นำมา

ใช้เป็นตัวควบคุมภายนอกในการคำนวณปริมาณโปรตีน ในการทดลองครั้งนี้เมื่อสร้างกราฟความสัมพันธ์ระหว่างค่าความเข้มข้นของโปรตีน BSA มาตรฐานที่คำนวณได้จากกราฟกับค่าความเข้มข้นของโปรตีน BSA มาตรฐาน ได้กราฟเส้นตรงที่ทับกันดังแสดงในรูปที่ 4 ซึ่งเป็นการยืนยันความน่าเชื่อถือ และความถูกต้องของการคำนวณหาปริมาณโปรตีนจากกราฟมาตรฐานที่สร้างขึ้น โดยมีโปรตีน BSA มาตรฐานเป็นตัวควบคุมภายนอก เพื่อใช้ในการหาปริมาณโปรตีนจากเจลที่ความเข้มข้นตั้งแต่ 0.245 – 1.862 ไมโครกรัม

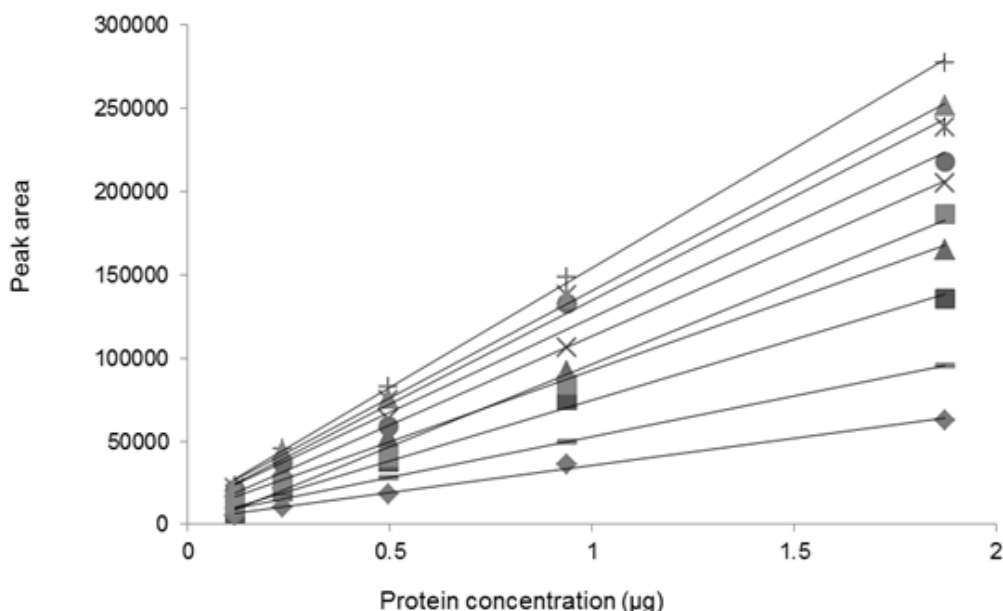


Figure 3 Standard curve of quantitative determination of scFv anti-p17 protein using standard BSA as external control from 10 experiment

Table 3 Concentration of standard BSA calculated by standard curve

Standard BSA concentration (µg)	Standard BSA concentration (µg) determined by standard curve										Mean	%CV
	1	2	3	4	5	6	7	8	9	10		
1.875	1.875	1.843	1.865	1.913	1.855	1.827	1.817	1.860	1.865	1.830	1.862	2.11
0.937	1.007	0.990	0.939	0.877	0.962	1.021	1.072	0.958	0.755	0.933	0.952	8.58
0.469	0.492	0.531	0.531	0.435	0.500	0.519	0.433	0.497	0.517	0.513	0.495	10.83
0.234	0.249	0.242	0.252	0.281	0.255	0.200	0.243	0.235	0.249	0.252	0.245	10.72
0.117	0.069	0.054	0.072	0.125	0.088	0.100	0.106	0.082	0.182	0.105	0.099	39.35

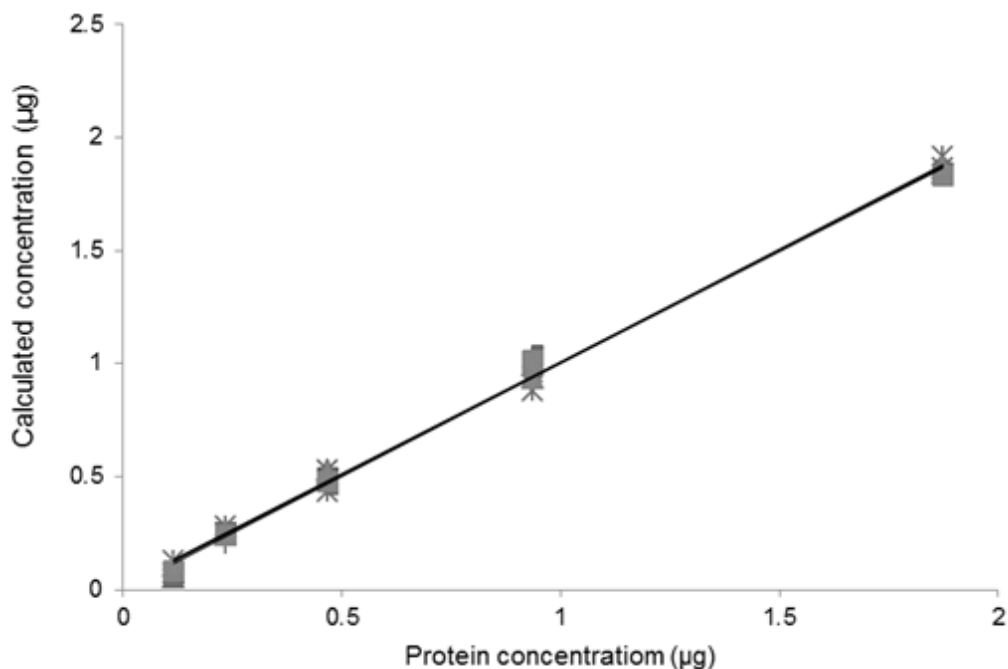


Figure 4 Relationship between standard BSA concentrations determined by standard curve actual loaded into gel from 10 experiments

2. กราฟมาตรฐานจากโปรตีน BSA มาตรฐาน และกราฟความสัมพันธ์ระหว่างค่าความเข้มข้นของโปรตีน BSA มาตรฐานที่ทราบค่า และความเข้มข้นของโปรตีน BSA มาตรฐานที่คำนวณได้โดยใช้โปรตีน BSA มาตรฐานเป็นตัวควบคุมภายใน

แยกโปรตีนรวมความเข้มข้นโปรตีนรวม 20 ไมโครกรัม ที่ผสมกับโปรตีน BSA มาตรฐานความเข้มข้น 1.875, 0.9375, 0.469, 0.234 และ 0.117 ไมโครกรัม ตามลำดับ ด้วยวิธี SDS-PAGE พบตำแหน่งของโปรตีน BSA มาตรฐานมีขนาดโมเลกุลประมาณ 65 กิโลดาลตัน เมื่อเทียบกับ molecular

weight marker โดยความเข้มของแถบโปรตีนลดลงตามลำดับ ดังแสดงในรูปที่ 5 เมื่อวิเคราะห์ความเข้มของแถบโปรตีนในเจลด้วยโปรแกรม ImageQuant TL programme ซึ่งแสดงผลเป็นค่าพื้นที่ใต้กราฟ พบว่าค่าพื้นที่ใต้กราฟลดลงตามความเข้มข้นของโปรตีน BSA มาตรฐานที่ลดลงตามลำดับดังแสดงในรูปที่ 6 และตารางที่ 4

สร้างกราฟมาตรฐานจากค่าพื้นที่ใต้กราฟในตารางที่ 4 พบว่าได้กราฟเส้นตรง ค่า R ≥ 0.98 ดังแสดงในรูปที่ 7 ผลการคำนวณค่าความเข้มข้นของโปรตีน BSA มาตรฐานจากกราฟมาตรฐาน คือ 1.815, 1.045, 0.558, 0.236 และ 0.057 ไมโครกรัม ตามลำดับ ค่าสัมประสิทธิ์ความแปรปรวน

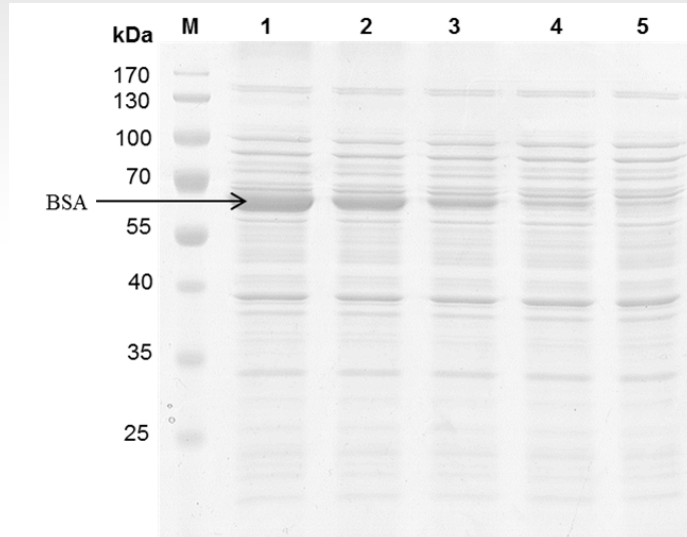


Figure 5 SDS-PAGE analysis of various concentrations of standard BSA; Lane 1-5: 1.875, 0.9375, 0.469, 0.234, 0.117 μg , respectively, (Arrows), Lane M: Prestained protein ladder

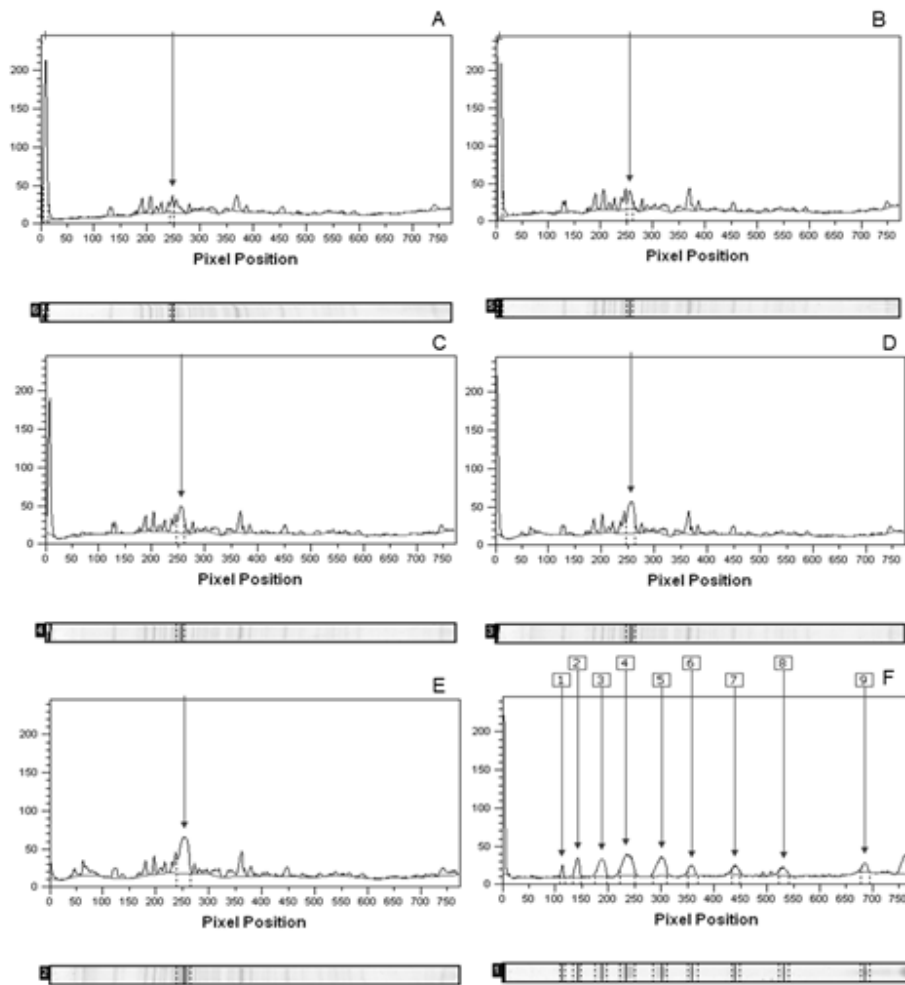


Figure 6 Peak areas of various concentrations of standard BSA intensity. (A-E) Peak areas of 1.875, 0.9375, 0.469, 0.234 and 0.117 μg , respectively, (Arrows), (F) Peak areas of molecular weight marker intensity

Table 4 Peak areas of standard BSA concentration that analyzed by ImageQuant TL program

Std BSA Conc. (µg)	Peak area analysis by ImageQuant TL programme										\bar{X}	SD
	1	2	3	4	5	6	7	8	9	10		
1.875	94849	95132	54295	61794	103353	93832	83189	77080	76730	88350	82860	15619
0.937	53993	66048	32715	39760	66441	65896	56846	52216	44560	56057	53453	11542
0.469	30744	33909	17256	20714	51731	43796	39596	38802	30672	39908	34713	10398
0.234	16559	17697	8891	11032	29632	26261	29422	28797	22350	26846	21749	7753
0.117	8823	6971	4720	7380	17386	19803	16486	15510	16201	16175	12946	5356

จากความเข้มข้นของโปรตีน BSA มาตรฐานที่คำนวณได้จากกราฟต่อความเข้มข้นของโปรตีน BSA มาตรฐานที่ทราบค่า คือ 2.459, 6.605, 10.054, 17.442 และ 62.282 ตามลำดับ ดังแสดงในตารางที่ 5 โดยค่าความเข้มข้นที่คำนวณได้จะยอมรับที่ค่าสัมประสิทธิ์ความแปรปรวนน้อยกว่า 35%³ เมื่อสร้างกราฟความสัมพันธ์ระหว่างค่าความเข้มข้นของโปรตีน BSA มาตรฐานที่คำนวณได้จากกราฟกับค่าความเข้มข้นของโปรตีน BSA มาตรฐานที่กำหนดค่า ได้กราฟเส้นตรงดังแสดงใน รูปที่ 8 เป็นการยืนยันความน่าเชื่อถือ และความถูกต้องของการคำนวณหาปริมาณโปรตีนจากกราฟมาตรฐานที่สร้างขึ้น โดยมีโปรตีน BSA มาตรฐาน เป็นตัวควบคุมภายในเพื่อใช้ในการหาปริมาณโปรตีนจากเจลที่ความเข้มข้นตั้งแต่

0.234 -1.875 ไมโครกรัม

3. คำนวณปริมาณโปรตีน scFv anti-p17 ด้วยวิธี quantitative SDS-PAGE โดยใช้โปรตีน BSA มาตรฐานเป็นตัวควบคุมภายใน

เมื่อแยกโปรตีนรวมที่ประกอบด้วยโปรตีน scFv anti-p17 ด้วยวิธี SDS-PAGE โดยใช้โปรตีน BSA มาตรฐาน ความเข้มข้น 1.875 ไมโครกรัม เป็นตัวควบคุมภายใน และตรวจหาโปรตีน scFv anti-p17 ด้วยวิธี western immunoblotting พบแถบโปรตีน scFv anti-p17 ขนาด 27 กิโลดาลตัน ดังแสดงในรูปที่ 9 และ ให้ผลบวกเมื่อตรวจสอบโปรตีนด้วยวิธี ELISA

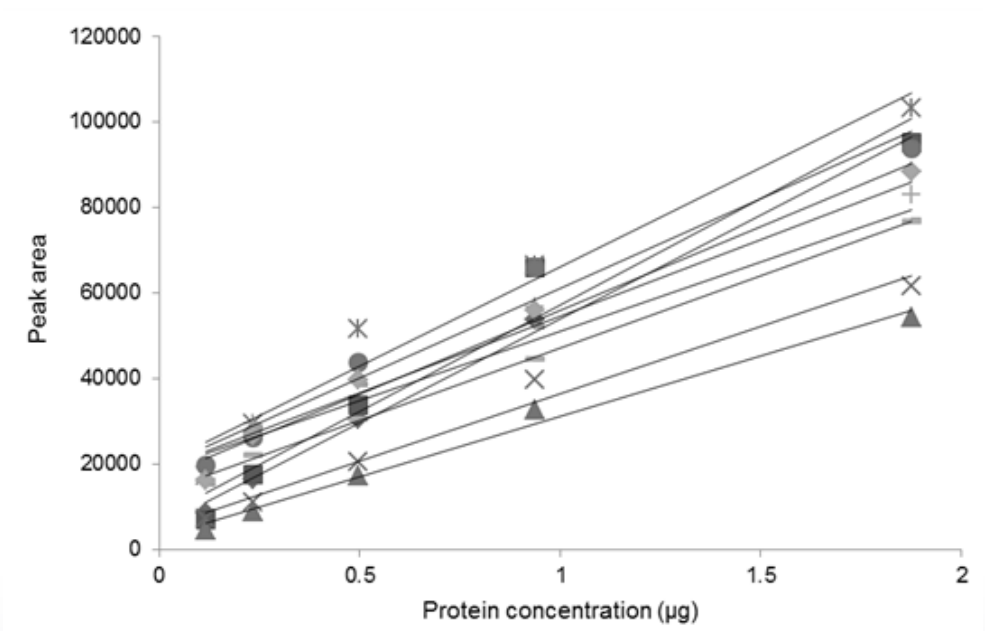


Figure 7 Standard curves of quantitative determination of scFv anti-p17 protein using standard BSA as internal control from 10 experiments

Table 5 Concentrations of standard BSA calculated by standard curve

Standard BSA concentration (µg)	Standard BSA concentration (µg) determined by standard curve										Mean	%CV
	1	2	3	4	5	6	7	8	9	10		
	1.875	1.833	1.746	1.809	1.796	1.803	1.908	1.778	1.796	1.799		
0.937	1.004	1.176	1.056	1.099	1.003	1.109	1.056	1.028	0.918	0.997	1.045	6.605
0.469	0.534	0.546	0.516	0.496	0.684	0.511	0.580	0.572	0.612	0.505	0.558	10.05
0.234	0.246	0.228	0.224	0.190	0.204	0.251	0.160	0.286	0.302	0.258	0.238	17.44
0.117	0.090	0.018	0.078	0.074	*	*	0.006	*	*	0.075	0.057	62.28

* The standard BSA concentration was unable to calculate by standard curve

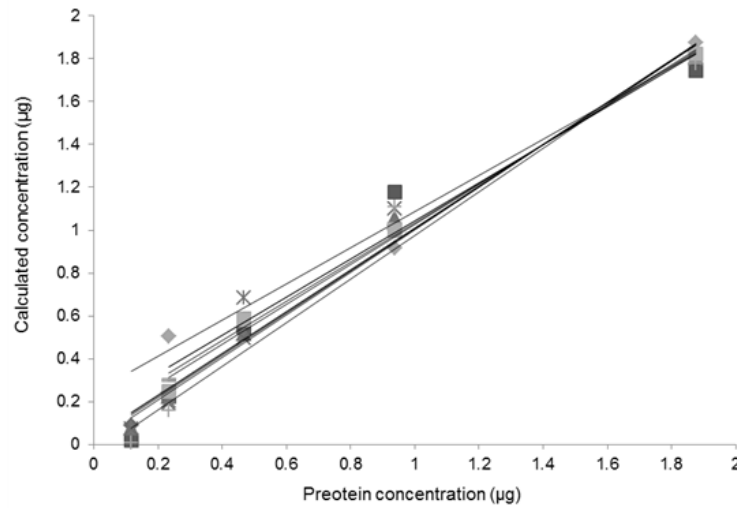


Figure 8 Relationship between standard BSA concentrations determined by standard curve and actual loaded into gel from 10 experiments

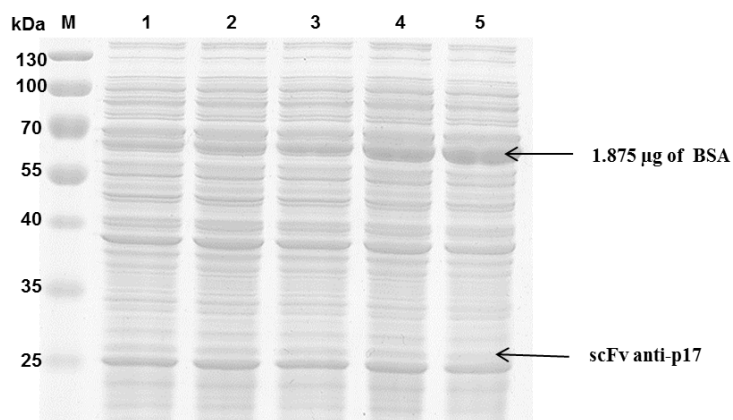


Figure 9 SDS-PAGE analysis for quantitative determination of scFv anti-p17 using 1.875 µg of standard BSA as internal control; Lane 1-5: crude protein (Solid arrows) mixed with 1.875 µg of standard BSA (Dash arrows), Lane M: Prestained protein ladder

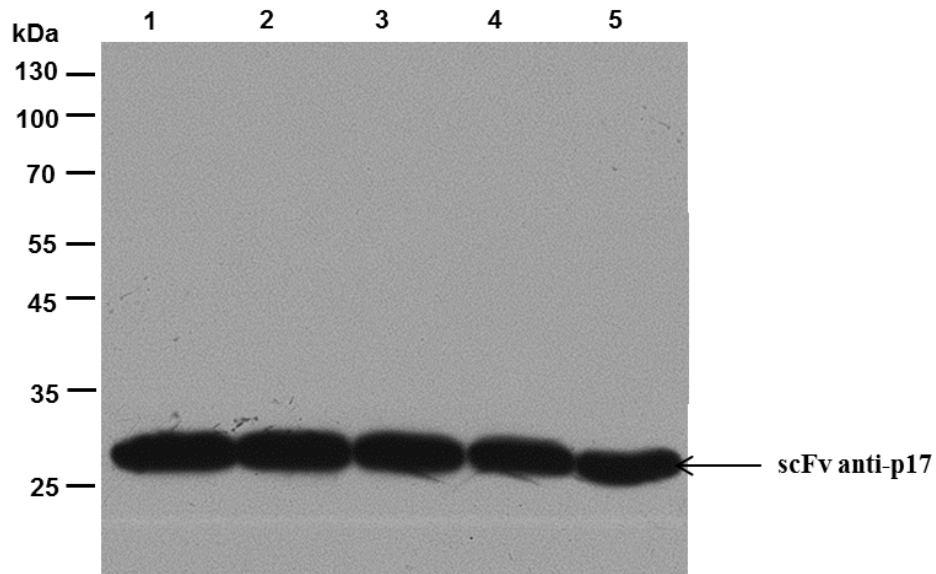


Figure 10 Western immunoblotting analysis of scFv anti-p17; Lane 1-5: 20 µg of crude protein mixed with 1.875 µg of standard BSA

จากการวิเคราะห์พื้นที่ใต้กราฟของโปรตีน scFv anti-p17 ด้วยโปรแกรม ImageQuant TL programme ได้ค่าเฉลี่ยพื้นที่ใต้กราฟของ scFv anti-p17 คือ 26,246 ดังแสดงในตารางที่ 6 และเมื่อนำไปคำนวณตามสูตรที่ประยุกต์จากสูตร

การคำนวณของ Tomaszewska-Gras J. และคณะ 3 คำนวณปริมาณโปรตีน scFv anti-p17 ได้ 3.25% หรือ 1.637 มิลลิกรัมต่อปริมาตรการเลี้ยงเชื้อ 1 ลิตร

Table 6 Peaks area of scFv anti-p17 bands on SDS gels that analyzed by ImageQuant TL program

Experiment	Peak areas	Mw
1	24,510	26.328
2	22,598	26.550
3	28,776	27.005
4	26,523	27.005
5	28,826	27.236
Mean	26,246	26.82
SD	2713	0.37

4. การหาปริมาณโปรตีน scFv anti-p17 ในโปรตีนรวมที่ความเข้มข้นต่างๆ ด้วยเทคนิค quantitative SDS-PAGE

การหาปริมาณโปรตีน scFv anti-p17 จากโปรตีนรวม โดยหาปริมาณโปรตีน scFv anti-p17 จากโปรตีนรวมที่ผลิตได้จำนวน 19 ตัวอย่าง โดยใช้โปรตีน BSA มาตรฐานความเข้มข้น 1.875 ไมโครกรัม เป็นตัวควบคุมภายใน เมื่อทดสอบโปรตีนด้วยวิธี SDS-PAGE และ western immunoblotting พบแถบโปรตีนขนาด 27 กิโลดาลตัน และให้ผลบวกเมื่อทดสอบ

โปรตีนด้วยวิธี ELISA เมื่อวิเคราะห์ปริมาณโปรตีนจากการคำนวณพื้นที่ใต้กราฟของความเข้มของแถบโปรตีนตามสูตรที่กล่าวมาข้างต้น พบว่าสามารถคำนวณปริมาณ scFv anti-p17 ได้ค่าดังแสดงในตารางที่ 7

สรุปและวิจารณ์ผลการทดลอง

การทดลองสร้างกราฟมาตรฐานโดยใช้โปรตีน BSA มาตรฐาน ความเข้มข้น 1.875, 0.9375, 0.469, 0.234 และ

Table 7 Quantitative SDS-PAGE method of scFv anti-p17 from crude protein

Samples	OD	IPTG ^a (μ M)	Temperature ($^{\circ}$ C)	Time (h)	Agitation rate (rpm)	Total extracellular protein (TP) (mg/ml)	Recombinant scFv anti-p17 ^b (p17) (OD450nm)	scFv anti-p17 ^c (mg/l)
1	1.5	100	25.0	12	200	6.40 \pm 0.03	1.578 \pm 0.02	1.00
2	0.9	150	25.0	12	200	7.10 \pm 0.02	0.603 \pm 0.01	0.51
3	2.0	200	23.0	18	250	14.4 \pm 0.04	0.578 \pm 0.03	0.72
4	2.5	250	23.0	18	250	16.5 \pm 0.01	0.250 \pm 0.01	0.31
5	3.2	300	21.0	24	250	5.00 \pm 0.02	0.122 \pm 0.02	0.13
6	3.6	350	21.0	24	250	5.30 \pm 0.04	0.459 \pm 0.03	0.33
7	1.0	120	25.8	18	210	9.35 \pm 0.05	1.157 \pm 0.05	0.84
8	3.0	300	22.0	18	250	4.68 \pm 0.03	0.437 \pm 0.02	0.28
9	0.9	98	25.3	13	194	12.65 \pm 0.02	1.441 \pm 0.01	1.15
10	2.5	216	23.1	16	230	4.04 \pm 0.01	0.418 \pm 0.04	0.24
11	2.0	123	24.4	14	206	5.46 \pm 0.04	0.976 \pm 0.05	0.73
12	0.9	80	25.9	13	194	6.04 \pm 0.02	1.007 \pm 0.03	0.82
13	1.7	58	25.5	16	202	4.53 \pm 0.03	2.246 \pm 0.01	1.64
14	1.9	70	26.0	18	202	2.50 \pm 0.05	2.570 \pm 0.05	0.97
15	2.5	90	25.3	18	231	3.17 \pm 0.04	1.443 \pm 0.06	1.05
16	0.7	97	25.5	18	191	4.26 \pm 0.01	1.664 \pm 0.09	1.01
17	0.8	128	24.6	18	157	4.78 \pm 0.02	2.365 \pm 0.09	1.72
18	0.9	122	24.7	18	168	5.96 \pm 0.06	0.537 \pm 0.04	0.51
19	1.6	54	26.1	18	229	3.93 \pm 0.02	1.091 \pm 0.01	0.81

^a optical density (OD) of cell for IPTG induction, ^b optical density (OD) of ELISA method,

^c scFv anti-p17 concentration that calculated by quantitative SDS-PAGE method

0.117 ไมโครกรัม เป็นตัวควบคุมภายนอก สามารถสร้างกราฟเส้นตรง ($R \geq 0.98$) ดังนั้นหากความเข้มข้นของโปรตีน BSA มาตรฐานเพิ่มขึ้น ค่าพื้นที่ใต้กราฟที่วิเคราะห์ได้จะเพิ่มขึ้นตาม เมื่อดำเนินการหาปริมาณของโปรตีน BSA มาตรฐาน จากกราฟมาตรฐาน โดยกำหนดให้ค่าสัมประสิทธิ์ความแปรปรวนน้อยกว่า 35%³ พบว่า โปรตีน BSA มาตรฐาน ที่ความเข้มข้น 0.117 ไมโครกรัม ค่าความเข้มข้นสัมประสิทธิ์ความแปรปรวนได้ 39.35% ซึ่งมากกว่าค่าที่กำหนดไว้ ดังนั้นหากโปรตีนมีความเข้มข้นน้อยกว่า 0.234 ไมโครกรัม เมื่อนำมาคำนวณหาปริมาณโปรตีนค่าที่ได้ไม่อยู่ในช่วงค่าที่ยอมรับ และเมื่อสร้างกราฟความสัมพันธ์ระหว่างค่าความเข้มข้นของโปรตีน BSA มาตรฐานที่คำนวณได้จากกราฟกับความเข้มข้นของโปรตีน BSA มาตรฐานที่ทราบค่า พบว่าได้กราฟเส้นตรงทั้ง 10 เส้น ทับกันทั้งหมด มีค่า $R \geq 0.98$ แสดงให้เห็นว่าโปรตีน BSA มาตรฐานที่มีความเข้มข้นตั้งแต่ 0.234 ไมโครกรัม สามารถใช้เป็นตัวควบคุมภายนอกได้

เมื่อสร้างกราฟมาตรฐานโดยใช้โปรตีน BSA มาตรฐาน ความเข้มข้น 1.875, 0.9375, 0.469, 0.234 และ 0.117 ไมโครกรัม เป็นตัวควบคุมภายใน ของโปรตีนรวมที่มีความเข้มข้น เท่ากับ 20 ไมโครกรัม สามารถสร้างกราฟเส้นตรง ($R \geq 0.98$) แสดงให้เห็นว่าค่าพื้นที่ใต้กราฟที่วิเคราะห์ได้เพิ่มขึ้นตามค่าความเข้มข้นของโปรตีน BSA มาตรฐาน และปริมาณของโปรตีน BSA มาตรฐานที่คำนวณได้จากกราฟมาตรฐาน มีค่าสัมประสิทธิ์ความแปรปรวนน้อยกว่า 35% แต่พบว่าโปรตีน BSA มาตรฐาน ที่ความเข้มข้น 0.117 ไมโครกรัม มีค่าสัมประสิทธิ์ความแปรปรวนเท่ากับ 62.282 ซึ่งมากกว่าค่าที่

กำหนดไว้ ดังนั้นหากปริมาณโปรตีนมีความเข้มข้นน้อยกว่า 0.234 ไมโครกรัม เมื่อนำมาคำนวณหาปริมาณค่าที่ได้ไม่อยู่ในช่วงค่าที่ยอมรับ และเมื่อสร้างกราฟความสัมพันธ์ระหว่างค่าความเข้มข้นของโปรตีน BSA มาตรฐานที่คำนวณได้จากกราฟกับความเข้มข้นของโปรตีน BSA มาตรฐานที่ทราบค่า พบว่าได้กราฟเส้นตรงทั้ง 10 เส้น ($R \geq 0.98$) ดังนั้นโปรตีน BSA มาตรฐาน ที่มีความเข้มข้นตั้งแต่ 0.234 ไมโครกรัม สามารถใช้เป็นตัวควบคุมภายในได้

นอกจากการสร้างกราฟมาตรฐานโดยใช้โปรตีน BSA มาตรฐาน เป็นตัวควบคุมภายนอก และตัวควบคุมภายใน ปัจจัยที่มีผลต่อค่าความถูกต้องในการหาปริมาณโปรตีน ด้วยเทคนิค quantitative SDS-PAGE คือขั้นตอนการย้อมโปรตีน และปริมาตรโปรตีนที่ไหลลงในเจล การศึกษาครั้งนี้ ย้อมโปรตีนด้วย Coomassie blue R-250 และล้างสีส่วนเกินออกด้วยกรดอะซิติก ความเข้มข้น และปริมาตรของสีย้อมระยะเวลาในการย้อม และการล้างสีส่วนเกิน มีความสำคัญอย่างมากในการหาปริมาณโปรตีนด้วยเทคนิคนี้ เนื่องจากต้องคำนวณปริมาณจากพื้นที่ใต้กราฟของความเข้มของแถบโปรตีน ดังนั้นในขั้นตอนการย้อมโปรตีนแต่ละครั้ง ระยะเวลา และปริมาตรของสารที่ใช้ต้องเท่ากันทุกครั้ง³ และปริมาตรของโปรตีนตัวอย่างที่ใช้ไหลลงในเจล ต้องเป็นปริมาตรที่พอดีกับปริมาตรของหลุมบนเจล ซึ่งหากไหลโปรตีนปริมาณมากเกินไปจนล้นออกนอกหลุม อาจทำให้ค่าปริมาณโปรตีนที่ต้องการไม่สอดคล้องกับปริมาตรโปรตีนที่ไหลลงบนเจล หรือหากไหลโปรตีนน้อยเกินไปอาจทำให้ไม่ปรากฏแถบโปรตีนที่ต้องการวัดปริมาณบนเจล ซึ่งในการศึกษาครั้งนี้ได้

โพลีโปรตีนปริมาตร 12.5 ไมโครลิตร ซึ่งเป็นปริมาตรที่พอดีและไม่ล้นออกนอกหลอดเจล

จากการสร้างกราฟมาตรฐานจากโปรตีน BSA มาตรฐาน โดยได้กราฟเชิงเส้น ใช้โปรตีน BSA มาตรฐานเป็นตัวควบคุมภายใน ในการหาปริมาณโปรตีน scFv anti-p17 โดยกำหนดตำแหน่งแถบโปรตีนที่ต้องการวิเคราะห์ด้วยวิธี western immunoblotting และทำการทดลองซ้ำ 5 ครั้ง พบว่าโปรตีน scFv anti-p17 มีขนาดโมเลกุลเท่ากับ 27 กิโลดาลตัน จึงเลือกแถบโปรตีนตำแหน่งนี้ในการหาปริมาณโปรตีน scFv anti-p17 โดยใช้สูตรคำนวณดังที่กล่าวมาข้างต้น ใช้โปรตีน BSA มาตรฐานความเข้มข้น 1.875 ไมโครกรัม เป็นตัวควบคุมภายใน เนื่องจากให้ค่าสัมประสิทธิ์ความแปรปรวนน้อยที่สุด พบว่าสามารถคำนวณปริมาณโปรตีน scFv anti-p17 ได้ 3.275% คิดเป็น 1.637 มิลลิกรัมต่อปริมาตรการเลี้ยงเชื้อ 1 ลิตร และการใช้โปรตีน BSA มาตรฐาน เป็นตัวควบคุมภายใน เพื่อคำนวณหาปริมาณโปรตีนมีค่าความไวที่ 0.234 ไมโครกรัม หากโปรตีนที่ต้องการหาปริมาณมีค่าต่ำกว่า 0.234 ไมโครกรัม จะไม่สามารถคำนวณได้ด้วยวิธีนี้ เนื่องจากค่าไม่อยู่ในช่วงกราฟมาตรฐานที่สร้างขึ้น

เมื่อทดลองสุ่มตัวอย่างโปรตีน scFv anti-p17 จากโปรตีนรวมจำนวน 19 ตัวอย่าง ในการเลี้ยงเชื้อที่สภาวะต่างๆ แตกต่างกัน 19 สภาวะ โดยใช้โปรตีน BSA มาตรฐานที่ความเข้มข้น 1.875 ไมโครกรัม เป็นตัวควบคุมภายใน ซึ่งอยู่ในช่วงที่ยอมรับได้ พบว่าสามารถคำนวณปริมาณโปรตีนได้จากสูตรทุกตัวอย่าง และเมื่อนำโปรตีน scFv anti-p17 มาทดสอบด้วย western immunoblotting และ ELISA พบว่าให้ผลการทดลองที่สอดคล้องกับวิธี quantitative SDS-PAGE

การศึกษาครั้งนี้เป็นงานวิจัยที่ประยุกต์ใช้วิธี SDS-PAGE เพื่อหาปริมาณ extracellular protein ที่ผลิตจากเชื้อจุลินทรีย์ ซึ่งผลการศึกษาในครั้งนี้เป็นครั้งแรกที่มีการประยุกต์ใช้เทคนิค quantitative SDS-PAGE ในการหาปริมาณโปรตีนที่สร้างจากเชื้อจุลินทรีย์นอกเซลล์ โดยพัฒนาเทคนิคจากการศึกษาของ Wai-hoe และคณะ⁴ การศึกษาครั้งนี้มี

ความสัมพันธ์กับการศึกษาของ Zupan และคณะได้พัฒนาเทคนิคการแยกและวิเคราะห์ปริมาณโปรตีนผนังเซลล์จากเชื้อ *Saccharomyces cerevisiae* ชนิดลูกกลม และไม่ลูกกลม ด้วยวิธี SDS-PAGE โดยโปรตีนตัวอย่างไม่ผ่านการทำบริสุทธิ์จากการทดลองสามารถแยกโปรตีนได้กว่า 20 ชนิดที่มีขนาดตั้งแต่ 60 ถึง 220 กิโลดาลตัน และคำนวณค่าความสามารถในการให้ผลซ้ำ (reproducibility) เท่ากับ 0.3 %CV¹² ผลการศึกษาที่ได้ยังมีความสัมพันธ์กับ LI และคณะที่ได้ตรวจหาปริมาณโปรตีนในน้ำตาโดยใช้ SBIT เป็นตัวควบคุมภายใน พบว่ามีค่าสัมประสิทธิ์ความแปรปรวนน้อยกว่า 10% ซึ่งเป็นวิธีที่สะดวกกว่าเมื่อเทียบกับการแยกโปรตีนด้วยวิธี high performance liquid chromatography (HPLC) และใช้สิ่งส่งตรวจปริมาณน้อยกว่าเมื่อเทียบกับการหาปริมาณโปรตีนด้วยวิธี Bradford ที่ใช้น้ำตาปริมาตร 10 ไมโครลิตร⁵ จะเห็นได้ว่าเทคนิค SDS-PAGE แม้จะเป็นเทคนิคในการแยกโปรตีนชนิดต่างๆ ออกจากโปรตีนรวมโดยอาศัยขนาดของโปรตีนซึ่งใช้ทั่วไปในงานวิจัย เพื่อใช้ตรวจหาคุณภาพโปรตีนในโปรตีนรวมเท่านั้น แต่ในการศึกษาครั้งนี้ได้ประยุกต์ใช้เทคนิคดังกล่าวในการหาปริมาณโปรตีนเป้าหมายจากโปรตีนรวมด้วยวิธีการอย่างง่าย ง่ายใดก็ตามการหาปริมาณโปรตีนด้วยวิธีนี้ต้องทราบขนาดที่จำเพาะของโปรตีนที่ต้องการตรวจวัด และควรมีตัวบ่งชี้ที่ชัดเจนที่สามารถบอกตำแหน่งของโปรตีนในเจลได้ เพื่อให้ทราบตำแหน่งของแถบโปรตีนที่แน่นอน และต้องอาศัยผู้ปฏิบัติงานที่มีความชำนาญเพื่อต้องการให้ค่าสัมประสิทธิ์ความแปรปรวนน้อยที่สุด เนื่องจากวิธีนี้เป็นการประยุกต์ใช้การหาปริมาณโปรตีนจากโปรตีนรวมด้วยวิธี quantitative SDS-PAGE และคำนวณหาปริมาณโปรตีนโดยใช้สูตรคำนวณทางคณิตศาสตร์เทียบกับกราฟมาตรฐานที่สร้างขึ้น ซึ่งเทคนิคนี้สามารถนำไปประยุกต์ใช้กับโปรตีนชนิดอื่นที่มีขั้นตอนการทำบริสุทธิ์ที่ซับซ้อน การหาปริมาณโปรตีนด้วยเทคนิคนี้จะช่วยลดขั้นตอนการทำบริสุทธิ์โปรตีน และสามารถหาปริมาณโปรตีนที่ต้องการได้จากโปรตีนรวมโดยตรง

กิตติกรรมประกาศ

ผู้วิจัยขอขอบคุณ ทูสนับสนุนการวิจัยจากสำนักงานพัฒนาวิทยาศาสตร์และเทคโนโลยีแห่งชาติ ศูนย์พันธุวิศวกรรมและเทคโนโลยีแห่งชาติ และสำนักงานกองทุนสนับสนุนการวิจัย ขอขอบคุณทูสนับสนุนการวิจัยบางส่วนจากบัณฑิตวิทยาลัย มหาวิทยาลัยเชียงใหม่

เอกสารอ้างอิง

1. Regan FM, Williams RM, McDonald A, Umpleby AM, Acerini CL, O'Rahilly S, et al. Treatment with recombinant human insulin-like growth factor (rhIGF)-I/rhIGF binding protein-3 complex improves metabolic control in subjects with severe insulin resistance. *J. Clin Endocrinol Metab* 2010; 95(5): 2113-22.
2. Weisser NE, Hall JC. Applications of single-chain variable fragment antibodies in therapeutics and diagnostics. *Biotechnol Adv* 2009; 27(4): 502-20.
3. Tomaszewska-Gras J, Kijowski J, Schreurs FJ. Quantitative determination of titin and nebulin in poultry meat by SDS-PAGE with an internal standard. *Meat Sci* 2002; 62(1): 61-6.
4. Wai-Hoe L, Wing-Seng L, Ismail Z, Lay-Harn G. SDS-PAGE-based quantitative assay for screening of kidney stone disease. *Biol Proced Online* 2009; 11: 145-60.
5. Li K, Chen Z, Duan F, Liang J, Wu K. Quantification of tear proteins by SDS-PAGE with an internal standard protein: A new method with special reference to small volume tears. *Graefes Arch Clin Exp Ophthalmol* 2010; 248(6): 853-62.
6. Rícný J, Soukup T. Comparison of new ELISA method with established SDS-PAGE method for determination of muscle myosin heavy chain isoforms. *Physiol Res* 2011; 60(6): 899-904.
7. Leong SSJ, Chen WN. Preparing recombinant single chain antibodies. *Chem Eng Sci* 2008; 63(6): 1401-14.
8. Lim KP, Li H, Nathan S. Expression and purification of a recombinant scFv towards the exotoxin of the pathogen, *Burkholderia pseudomallei*. *J Microbiol* 2004; 42(2):126-32.
9. Tragoolpua K, Intasai N, Kasinrerak W, Mai S, Yuan Y, Tayapiwatana C. Generation of functional scFv intrabody to abate the expression of CD147 surface molecule of 293A cells. *BMC Biotechnol* 2008; 8(1).
10. Mukhtar MM, Li S, Li W, Wan T, Mu Y, Wei W, et al. Single-chain intracellular antibodies inhibit influenza virus replication by disrupting interaction of proteins involved in viral replication and transcription. *Int J Biochem Cell Biol* 2009; 41(3): 554-60.
11. Gal-Tanamy M, Zemel R, Bachmatov L, Jangra RK, Shapira A, Villanueva RA, et al. Inhibition of protease-inhibitor-resistant hepatitis C virus replicons and infectious virus by intracellular intrabodies. *Antiviral Res.* 2010; 88(1): 95-106.
12. Zupan J, Mavri J, Raspor P. Quantitative cell wall protein profiling of invasive and non-invasive *Saccharomyces cerevisiae* strains. *J Microbiol Methods.* 2009; 79(3): 260-265.